

1.1 Modellizzazione del motore in corrente continua con giunto flessibile

Il modello del motore a corrente continua, presente in laboratorio, a cui viene applicato il giunto flessibile è riportato in Figura 1.1.

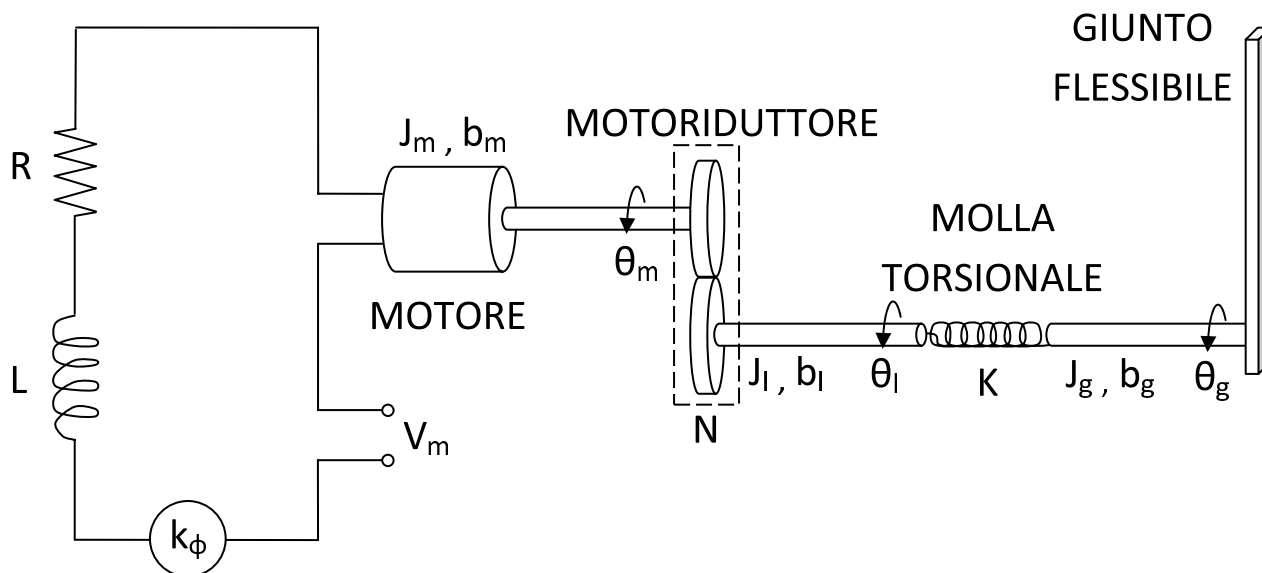


Figura 1.1. Schema motore c.c. con giunto flessibile.

Lista dei parametri:

R = resistenza avvolgimento elettrico
 L = induttanza avvolgimento elettrico
 J_m, J_l, J_g = momenti d'inerzia
 b_m, b_l, b_g = coefficienti d'attrito
 k_ϕ = costante di coppia
 K = costante elastica
 N = rapporto di trasmissione

Lista delle variabili:

θ_m = angolo motore
 θ_l = angolo carico
 θ_g = angolo giunto
 V_m = tensione di alimentazione

Di tali variabili si prendono come ingressi V_m e come uscite gli angoli di uscita del motore θ_m e del giunto flessibile θ_g .

Dalle equazioni meccaniche¹ che legano i parametri, al fine di inglobare nel modello anche il motoriduttore con le sue specifiche formule, si andranno a calcolare le relazioni tra le uscite e l'ingresso in tensione del motore introducendo dei valori dei coefficienti di attrito e di inerzia equivalenti (rispettivamente b_{eq} e J_{eq}):

$$\Theta_l(s) = P_l(s)V_m(s) \quad \text{e} \quad \Theta_g(s) = P_g(s)V_m(s)$$

Riscrivendo le equazioni con opportuni passaggi si trovano le seguenti funzioni di trasferimento:

$$P_l(s) = \frac{k_{\phi,eq}(J_g s^2 + b_g s + K)}{Rs \left(J_g J_{eq} s^3 + \left[\left(b_{eq} + \frac{k_{\phi,eq}^2}{R} \right) J_g + J_{eq} b_g \right] s^2 + \left[(J_g + J_{eq})K + b_g \left(b_{eq} + \frac{k_{\phi,eq}^2}{R} \right) \right] s + K \left[b_g + b_{eq} + \frac{k_{\phi,eq}^2}{R} \right] \right)} \quad (1.1)$$

$$P_g(s) = \frac{k_{\phi,eq}K}{Rs \left(J_g J_{eq} s^3 + \left[\left(b_{eq} + \frac{k_{\phi,eq}^2}{R} \right) J_g + J_{eq} b_g \right] s^2 + \left[(J_g + J_{eq})K + b_g \left(b_{eq} + \frac{k_{\phi,eq}^2}{R} \right) \right] s + K \left[b_g + b_{eq} + \frac{k_{\phi,eq}^2}{R} \right] \right)} \quad (1.2)$$

Nel caso specifico considerato in laboratorio i parametri assumono i seguenti valori:

$$\begin{array}{lll} R = 2.6 \text{ } [\Omega] & L \approx 0 \text{ } [H] & N = 14 \\ k_{\phi} = 7.67 \cdot 10^{-3} \text{ } \left[\frac{N \cdot m}{A} \right] & k_{\phi,eq} = N \cdot k_{\phi} & J_{eq} = 2.1 \cdot 10^{-3} \text{ } [Kg \cdot m^2] \\ b_{eq} \approx 0 & J_g = 2.1 \cdot 10^{-3} \text{ } [Kg \cdot m^2] & b_g \approx 2.1 \cdot 10^{-3} \text{ } \left[\frac{N \cdot m \cdot s}{rad} \right] \\ K \approx 1.2 \text{ } \left[\frac{N \cdot m}{rad} \right] & & \end{array}$$

Quindi le funzioni di trasferimento (1.1) e (1.2), calcolate con i valori sopra riportati, diventano rispettivamente:

$$P_l(s) = \frac{20(s^2 + 1.43s + 571)}{s(s^3 + 3.5s^2 + 1145s + 2023)} \quad (1.3)$$

$$P_g(s) = \frac{11238}{s(s^3 + 3.5s^2 + 1145s + 2023)}. \quad (1.4)$$

È necessario, al fine della progettazione di un controllore, conoscere in maniera esaustiva le f.d.t che si hanno a disposizione. Si inizia con l'analizzare, per ciascuna delle due f.d.t (1.3) e (1.4), la collocazione dei poli sul piano complesso e i luoghi delle radici (Figure 1.2 e 1.3) e i diagrammi di Bode, relativi a modulo e fase, in frequenza (Figure 1.4 e 1.5).

¹Per la visione dei passaggi formali, necessari per poter calcolare le f.d.t., si rimanda alla guida consultabile al link http://automatica.dei.unipd.it/tl_files/utenti/lucaschenato/Classes/LabContr2/GuidaLabCont2.pdf

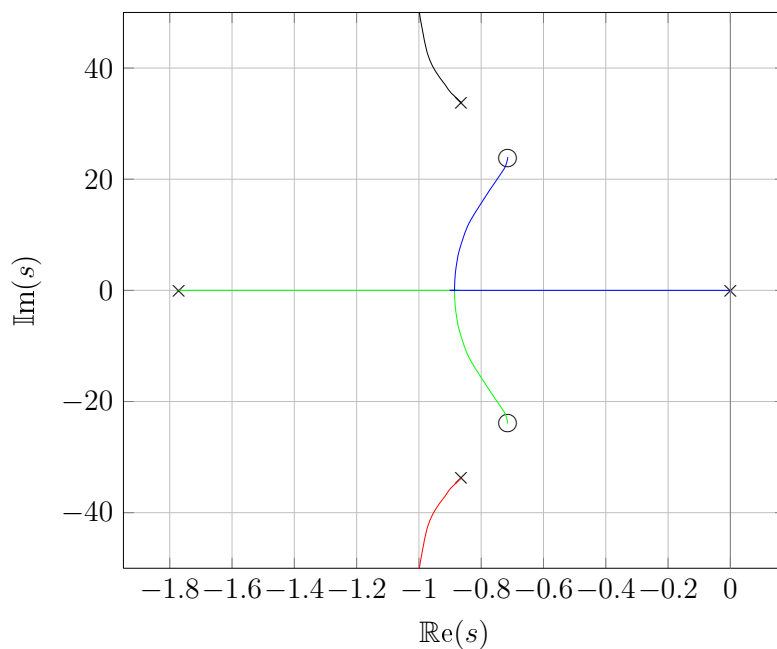


Figura 1.2. Luogo delle radici relativo a $P_l(s)$.

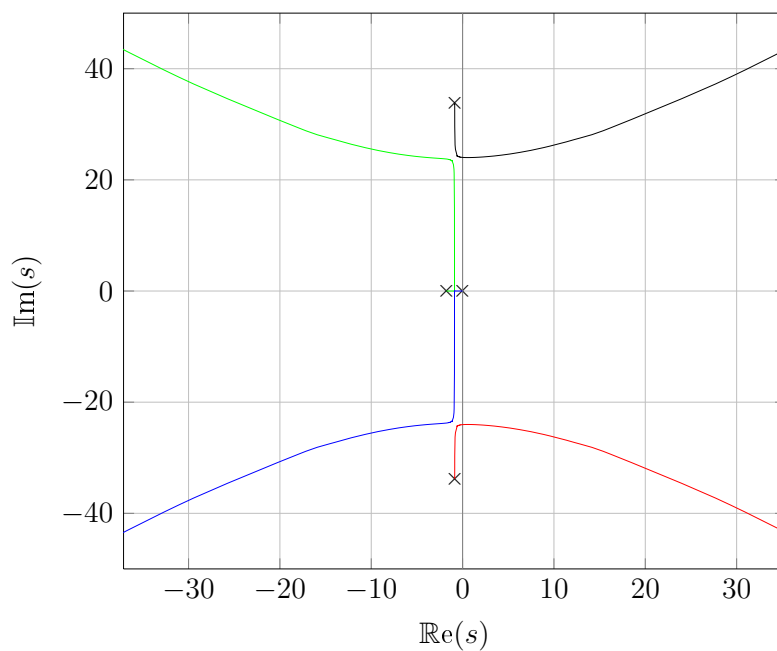


Figura 1.3. Luogo delle radici relativo a $P_g(s)$.

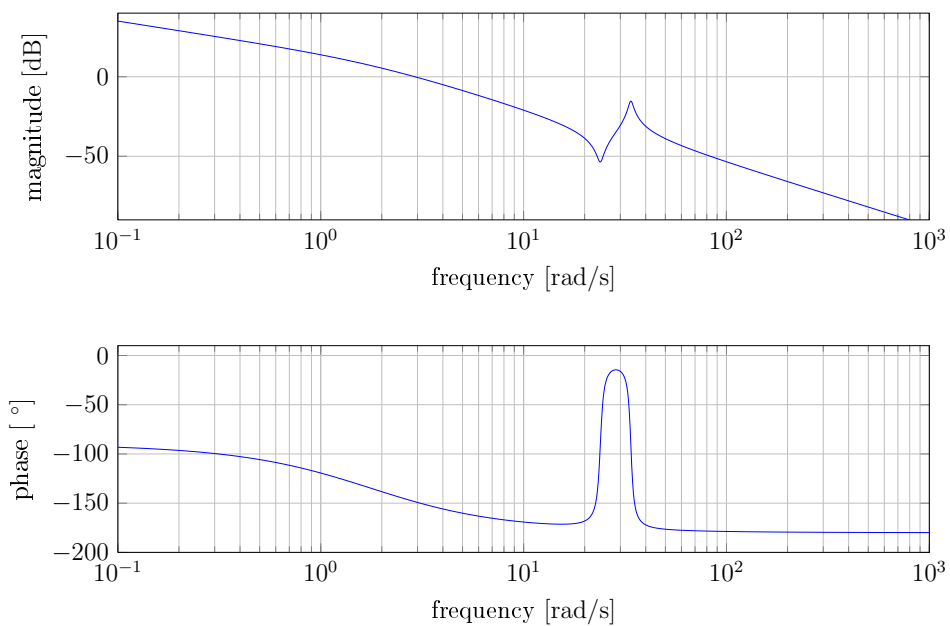


Figura 1.4. Diagrammi di Bode relativi a modulo e fase di $P_l(s)$.

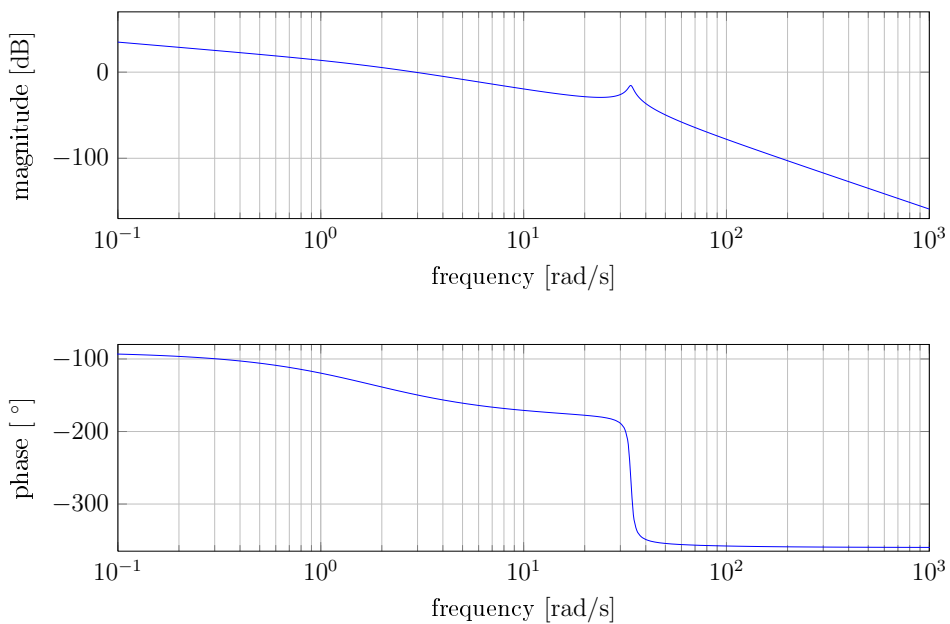


Figura 1.5. Diagrammi di Bode relativi a modulo e fase di $P_g(s)$.

1.2 Specifiche di progettazione

Date delle specifiche come il tempo di salita t_s [sec] o il tempo di assestamento t_a [sec], si può ricavare la frequenza di taglio ω_c [Hz] nominale del sistema da progettare; da una sovraelongazione S [rad] richiesta si ricava il margine di fase ϕ_{MF} [rad] nominale.

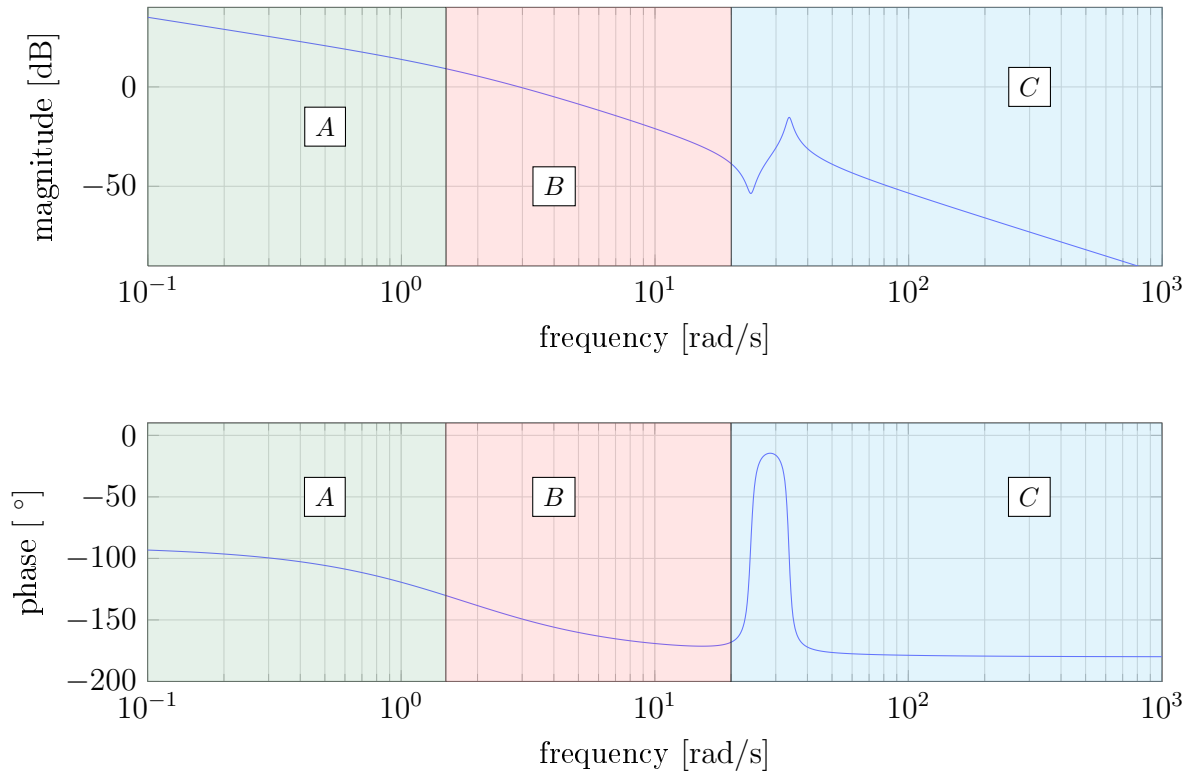
$$\omega_c = 1.8/t_s \quad (1.5)$$

$$\phi_{MF} = 2 \left| \frac{\ln(S)/\pi}{\sqrt{1 + (\ln(S)/\pi)^2}} \right| = 2 \sin \left[\text{atan}(-\ln(S)/\pi) \right] \quad (1.6)$$

Come è noto dal corso di Laboratorio di Controlli 1, un controllo derivativo aggiunge fase (fino ad un massimo di 90°), mentre un controllo integrativo ne toglie. Il controllo si potrebbe fare con reti anticipatrici o altre tecniche, si tende però ad usare PID essendo lo *standard de facto*.

Sistema co-colato $P_l(s)$ Un sistema si dice co-colato se non esistono elementi di accumulo di energia all'interno dell'anello di controllo.

Nel caso specifico del sistema collocato $P_l(s)$, si può dividere il diagramma di bode in tre parti:



A seconda del dominio di lavoro si hanno varie combinazioni ottime per il controllo del processo:

Zona del diagramma di Bode		
<i>A</i>	<i>B</i>	<i>C</i>
P	PD	PD
PI	PID	PID+Notch filter

Nella zona *C* si vuole usare un filtro notch per attenuare la frequenza del polo, la frequenza di risonanza del sistema.

Se si vuole attenuare una certa frequenza ω_n , si usa un filtro notch in serie con il processo, con trasformata

$$F(s) = \frac{s^2 + \omega_z^2}{s^2 + 2\omega_p \xi s + \omega_p^2} \quad (1.7)$$

ove tipicamente si progetta $\omega_z = \omega_p = \omega_n$. Inserendo il filtro, si toglie un po' di margine di fase prima di ω_p . Si deve tener conto se è il sistema in serie con il processo sia a fase minima o meno.

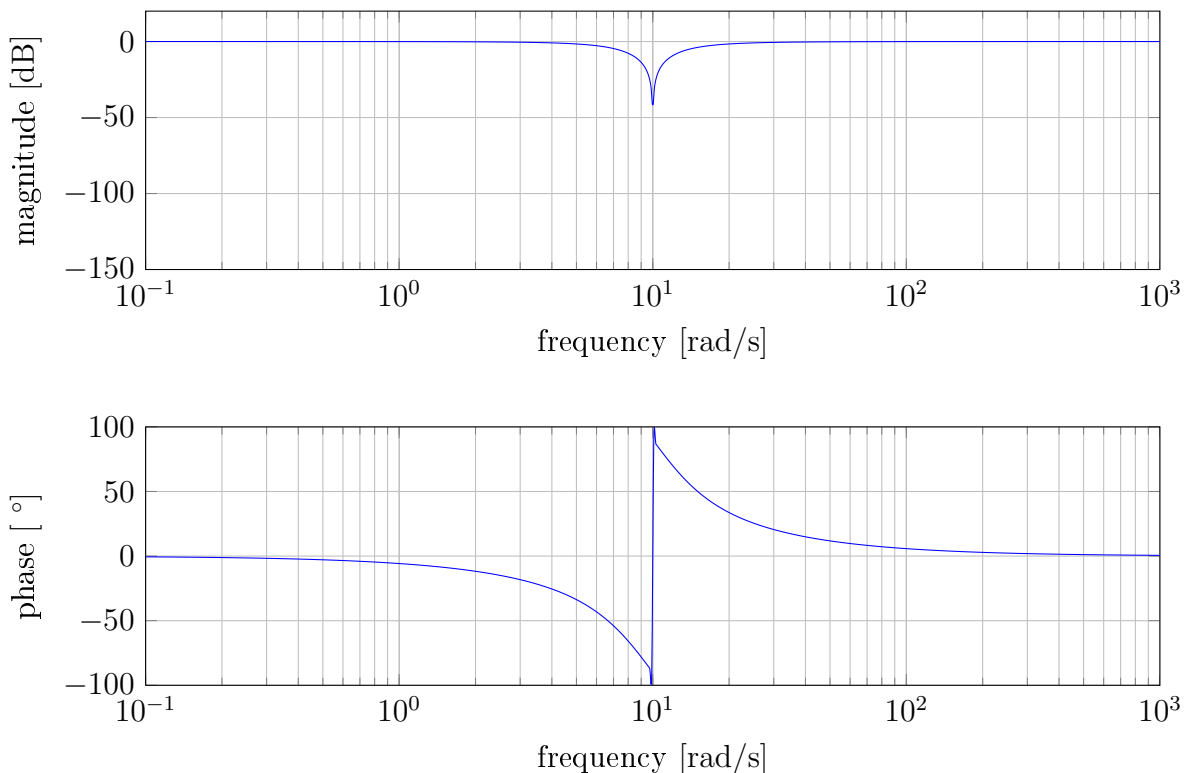
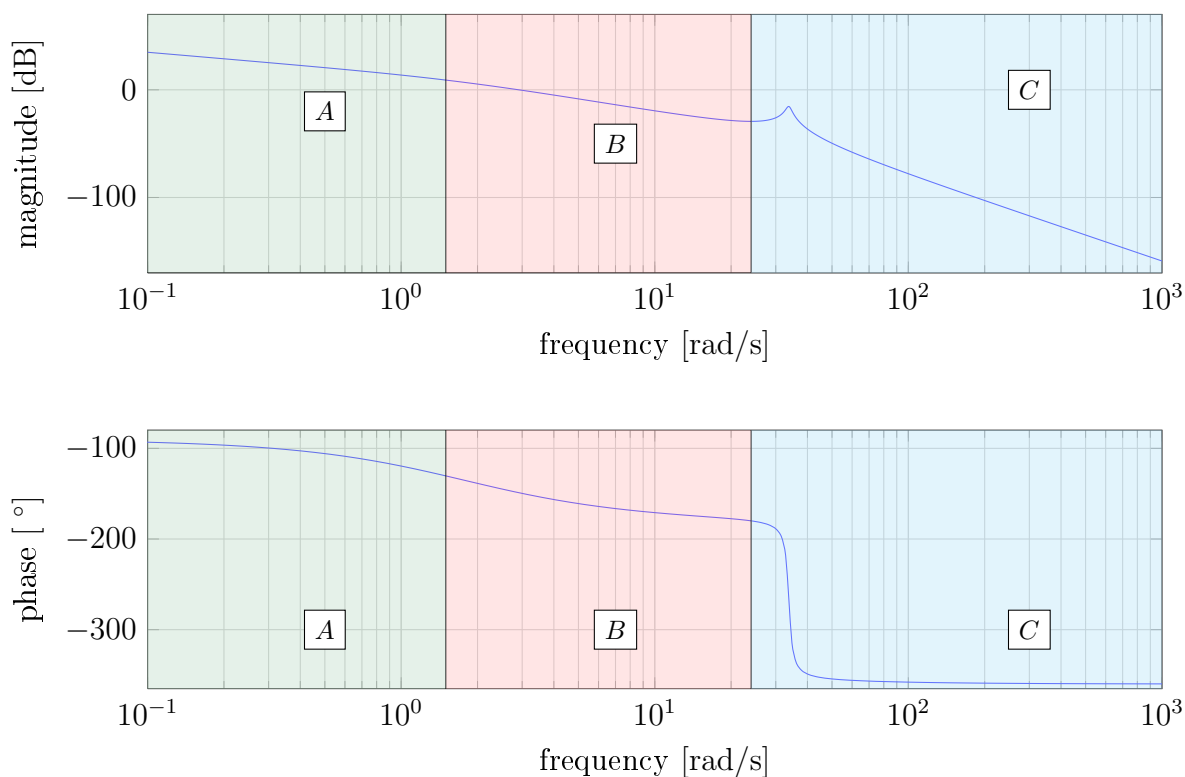


Figura 1.6. Diagrammi di Bode di un filtro notch

Sistema non co-locato $P_g(s)$ Se il sistema non è co-locato, come il processo $P_g(s)$, risulta più difficile da controllare, essendo presenti elementi di accumulo di energia. Si possono dividere le zone del diagramma di Bode in più parti:



Nella zona C non è possibile alcun controllo integrativo o tramite uso di filtri notch, dato che la fase è molto inferiore a 90° (attorno ai -360°) mentre il controllo derivativo aggiunge al massimo 90° .

Zona del diagramma di Bode		
A	B	C
P	PD	PD
PI	PID	×

Il margine di fase è la fase del punto che attraversa il cerchio più vicino a -1 nel diagramma di Nyquist. Nei diagrammi di Bode la curva del modulo potrebbe intersecare in più punti l'asse a 0 dB, ci potrebbero essere quindi più attraversamenti del cerchio di raggio unitario in Nyquist. La frequenza di taglio ed il relativo margine di fase alla ω_c viene assegnato al punto di attraversamento più vicino a -1 . Un filtro passa-basso in catena chiusa avrebbe una risonanza dopo la frequenza di taglio, ma se il polo del filtro è sufficientemente negativo gli effetti dell'attrito potrebbero essere comunque trascurabili.

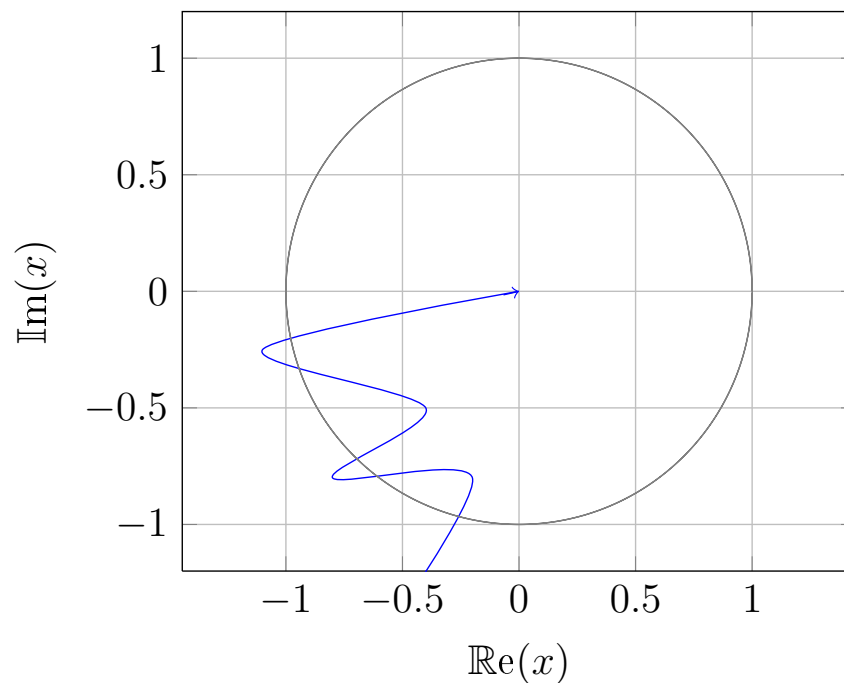


Figura 1.7. Diagramma di Nyquist di una funzione di trasferimento con più attraversamenti sul cerchio di raggio unitario